

鳥取大学大学院 学生員 ○松保重之
鳥取大学工学部 正会員 白木 康
鳥取大学工学部 正会員 高岡宣善

1. まえがき 道路橋を設計するという立場では、危険状態であり荷物時を考慮すべきであることを考えれば、荷重は橋軸に沿って連續分布していると見なし得る。本研究では、このような荷重を分布不規則荷重としてとらえ、まずその確率特性値をシミュレーション手法によって求め、ついでそのような分布荷重が作用する場合の道路橋の信頼性解析を不規則閑散論を用いて行なった。

2. シミュレーション手法による確率特性値の決定¹⁾ 交通流を構成する車種は建設省が行なっていき全国交通情勢調査にしたがって、(a)乗用車、(b)小型貨物車、(c)大型貨物車の3つに分類し、Fig.-1に示すよろ簡単なモデルとした。²⁾ただし、Lは車両占有長、Wは車両重量である。車両重量は簡単のために正規分布に従うものとし、各車種に関する分布形はTable-1に示すよろ最大・最小重量、平均重量、分散によって規定した。車種(a)、(b)および(c)の混入率はそれぞれ64.0%、20.0%および16.0%とした。以上のように車両をモデル化し、Fig.-4に示す計算手順をひんてシミュレーション(10万回)を行なった。また、車両間隔は一律に50cmとした。計算結果はFig.-2、

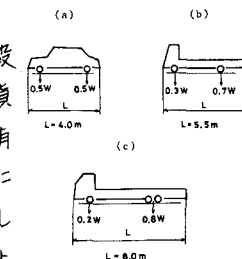


Fig.-1

	Max(t)	Min(t)	Mean(t)	Var(t)
乗用車	4.0	0.5	1.2	0.6
小型貨物車	8.0	0.8	3.1	3.2
大型貨物車	46.0	3.5	10.5	50.5

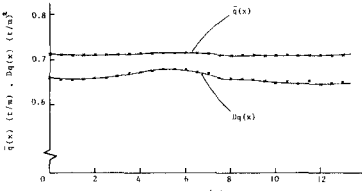


Fig.-2

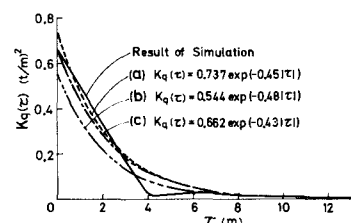


Fig.-3

Fig.-3に示す通りである。Fig.-2はシミュレーションの結果得出された分布不規則荷重の平均値と分散を示したものであり、Fig.-3は相関関数 $K_q(z)/C(m)$ ：橋軸方向に沿って測った2点間の座標値の差)を示したものである。Fig.-3の $K_q(z)$ は各座標値上で平均したものと示したが、そのバラツキは小さく、99%信頼区間は約0.006(C/m)と非常に小さな値を示した。したがって、Fig.-2、Fig.-3から、ここで考えていく分布不規則荷重はかなりの定常性を有すると思われる。本研究では、のちに行なう信頼性解析にかけ計算をよりやすく簡単化するため、 $K_q(z)$ を指標函数で回帰近似した。その際、回帰近似を行なった結果にたどりながら確率論的意味を持たせようという意味で、 $C>0$ のとき相関関数 $q(x)$ と $q(x+C)$ が実用上非相関となりせらうな長さを表す相関距離 τ_c (或(1)参照) なら、それを導入し、回帰曲線とシミュレーション結果の曲線の相関距離が類似していけるものとして、回帰曲線のパラメータを決定した。以上の諸点に注意し、回帰近似した結果、(a) $K_q(z) = 0.737 e^{-0.45|z|}$ のうえ(b) $K_q(z) = 0.564 e^{-0.48|z|}$ となった。その結果をFig.-3に示す。曲線(a)、(b)の回帰区間はそれぞれ $0 < z < 3m$ 、 $0 < z < 8m$ であり、曲線(a)の方が曲線(b)に較べ $K_q(z)$ のての小さい区間に重視したものとなってい。

3. 信頼性解析の方法 Fig.-5のようにスパン l の単純ばかりに分布不規則荷重 $\tilde{q}(x)$ が作用していける時の静的応答について考える。この場合、はりの曲げモーメント $M(x)$ と $q(x)$ との間には、式(2)に示すよろ関係式が成

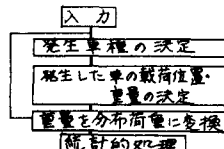


Fig.-4

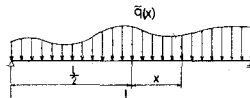


Fig.-5

立する。この微分関係式は線型性を有するので不規則関数論により、曲げモーメントの相関関数 $K_H(x_1, x_2)$ と荷重の相関関数 $K_g(x_1, x_2)$ との間に式(3)なる関係式が成立する。したがって、 $K_g(x_1, x_2)$ が与えられれば、はりの両端にかけた曲げモーメントは 0 だから両端断面にかけた曲げモーメントと他断面にかけた曲げモーメントとは相関がないという境界条件式(4)のもとに式(3)を解けば、曲げモーメントの相関関数 $K_H(x_1, x_2)$ が得られる。いま、荷重 $\tilde{g}(x)$ は定常不規則関数で、その相関関数を元座標の差によつて $K_g(x_1, x_2) = K_g(l) = D_g e^{-\alpha x l}$ のように書けらるべと仮定する。ただし、 D_g は荷重の分散であり、はりの全長にわたつて定数である。そうすると、微分方程式(3)を解くことによつて $K_H(x_1, x_2)$ を次式のように得る。⁴⁾

$$K_H(x_1, x_2) = \frac{D_g}{\alpha l} \left[e^{\frac{\alpha l}{2}} \left(\frac{\alpha l}{2} - \alpha x_1 - \alpha x_2 + \frac{4\pi x_2}{l} \sin \frac{\alpha l}{2} - 2 \frac{x_1 \sinh \frac{\alpha l}{2} + x_2 \cosh \frac{\alpha l}{2}}{\alpha l} \right) + x_1^2 \left(\frac{\alpha l}{3} + \frac{\alpha l}{4} \right) + x_2^2 \left(\frac{\alpha l}{3} + \frac{\alpha l}{6} \right) + \frac{d\alpha l^2}{24} - \frac{\alpha l}{2} + e^{\frac{\alpha l^2}{2}} + \frac{\alpha^2}{6} |x_2 - x_1|^2 + x_1 x_2 \right] \quad (5)$$

上式より曲げモーメントは x を助変数とする非定常不規則関数となることが分る。以上のようにして静的応答が求められたなら、以下のようにして与えられたレベル $M_a(x)$ を超過する破壊確率を求めることがでさう。いま、 $\tilde{M}_o(x) = \tilde{M}_o(x) - M_a(x)$ で定義される新にはる不規則関数を導入すると、破壊といふ事象は $\tilde{M}_o(x)$ がレベル 0 と正超過することであると考えらるべ。特に $\tilde{M}_o(x)$ が非定常な正規分布に従う場合、 $\tilde{M}_o(x)$ と $\tilde{M}_o(x) = d\tilde{M}_o(x)/dx$ の結合確率密度 $p(M_o, \dot{M}_o; x)$ は、式(6)のようになりるので、単位時間当たりの平均超過回数 $\lambda_+(0; x)$ は、

$$\lambda_+(0; x) = \frac{1}{2\pi \sigma_{M_o} \sigma_{\dot{M}_o} \sqrt{1-p^2}} \exp \left\{ -\frac{1}{2(1-p^2)} \left(\frac{(M_o - \tilde{M}_o)^2}{\sigma_{M_o}^2} + \frac{2p(M_o - \tilde{M}_o)(\tilde{M}_o - \bar{M}_o)}{\sigma_{M_o} \sigma_{\dot{M}_o}} + \frac{(\tilde{M}_o - \bar{M}_o)^2}{\sigma_{\dot{M}_o}^2} \right) \right\} \quad (6)$$

となる。式(6), (7)に加えて、 $\tilde{M}_o(x)$, $\sigma_{\dot{M}_o}(x)$ は $\tilde{M}_o(x)$ の期待値および標準偏差であり、また $\bar{M}_o(x)$, $\sigma_{M_o}(x)$ は $\tilde{M}_o(x)$ の期待値および標準偏差である。さらに、 $\lambda_+(0; x)$ は同一断面にかけた $\tilde{M}_o(x)$ と $\tilde{M}_o(x)$ との間の相関係数であり、 $\Phi(u) = \frac{1}{\sqrt{2\pi}} \int_{-\infty}^u \exp(-\frac{t^2}{2}) dt$ は確率積分である。はりが安全であるためには、レベル $M_a(x)$ は $\tilde{M}_o(x)$ に較べてかなり大きくなるものでなければならぬ。そのような場合には $\tilde{M}_o(x)$ が正領域へ超過する事象はまれであるので、 $\tilde{M}_o(x)$ の正超過回数はボアソン分布で近似でき、破壊確率 Q は式(8)より求まる。

4. 数値計算例 以上示した諸式を用ひて数値計算を行なつた。その一例を Fig.-6 に示す。Fig.-6 はスパン一定 ($l = 50 \text{ m}$) とした場合の安全率 γ と破壊確率 Q との関係を示したものであり、図中の (a), (b) はそれぞれ、 $K_g(x)$ の関数形として第 2 節で示した指数组合せ曲線 (a), (b) を用ひて数値計算をしたものである。ここで、安全率とはスパン中央にかけた曲げモーメント M_c に対する許容曲げモーメント M_a の比 M_a/M_c を示す。この図で、曲線 (a) と曲線 (b) を比較すると、曲線 (a)の方が破壊確率 Q が大きくなつてゐることが分る。曲線 (a) は、 $K_g(x)$ としてての小さい区間を重視した回帰曲線を用いた計算結果であるので、 $K_g(x)$ を用ひて信頼性解析を行なう場合、ての小さい $K_g(x)$ の値が影響してくることが分かる。そこで、 $K_g(x)$ の $x=0$ にかけた D_g の値として、シミュレーション結果の値 $D_g = 0.662 (cm)² を直接用ひて、 $K_g(x)$ を x のみの 1 次元指数组合せし、その $K_g(x)$ を用ひて数値計算した結果を示すと Fig.-6 の (c) となる。計算結果 (a) と (c) を比較すると、数値がほとんど一致するので、 $K_g(x)$ の関数形として、ここでは設計上安全側となる回帰曲線 (a) を採用することにする。$

- 1) 松原・白木・高岡: シミュレーション手法による道路構造荷重のモデル化, 土木学会第3回国四回年次学術講演概要集, I-4, 1981-5
 2) 藤野・伊藤・遠藤: シミュレーションに基づく道路構造設計荷重の評価, 土木学会論文報告集, 第 286 号, PP-1-13, 1979-6
 3) 小西・高岡: 構造動力学, 社会, PP-207-208, 1976-2
 4) ルジャニーツ・ン著・高岡宣善訳: 構造物の信頼性解析, 社会, PP-199-205, 1980-12

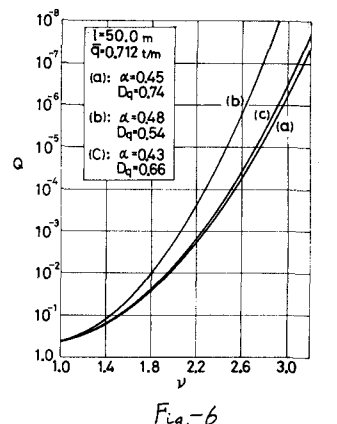


Fig.-6